



دانشکده شیمی

گروه شیمی معدنی

پایان نامه

برای دریافت درجه کارشناسی ارشد در رشته شیمی معدنی

عنوان:

سنتر و مطالعه نانو کریستال های استانات بیسموت پیروکلر دوپه شده با  
برخی از عناصر لانتانیدی به روش هیدرоторمال

استاد راهنما

عبدالعلی عالمی

استاد مشاور

علی اکبر خاندار

پژوهشگر

رقیه ابراهیمی کلان

اسفند

۱۳۸۶

نام خانوادگی دانشجو: ابراهیمی کلان	نام: رقیه
عنوان پایان نامه:	ستتر و مطالعه نانو کریستالهای استانات بیسموت دوپه شده با برخی از عناصر لantanیدی به روش هیدروترمال
استاد راهنمای: آقای دکتر عبدالعلی عالمی	
استاد مشاور: آقای دکتر علی اکبر خاندار	
مقطع تحصیلی: کارشناسی ارشد دانشگاه: تبریز	گرایش: شیمی رشته: شیمی
دانشکده: شیمی تعداد صفحه: ۱۳۸۶	تاریخ فارغ التحصیلی: ۱۴۰۷
کلید واژه‌ها:	پیروکلر، نانو کریستالها ، قلع ، بیسموت ، نئودمیوم ، ساماریوم ، لانتانیوم ، هیدرو ترمال
چکیده:	<p>دسته‌ی بزرگی از اکسیدهای مختلط با فرمول عمومی <math>A_2B_2O_7</math> متعلق به ساختارهای پیروکلربود و دارای دامنه وسیعی از خصوصیات فیزیکی و شیمیایی مفید می‌باشد. نانو کریستالهای اکسید پیروکلر استانات مواد بسیار مفیدی هستند که می‌توانند به عنوان کاتالیست، سنسور، تصفیه کننده پساب‌های صنعتی و... کاربردهای مهمی را داشته باشند. نانو کریستال‌های <math>Bi_{2-a}Ln_aSn_2O_7</math> ( <math>Ln = Nd, Sm, La</math> ) با فاز پیروکلری تحت دمای پایین <math>190^{\circ}C</math> به مدت ۱۲ ساعت در محیط قلیایی تحت روش هیدرو ترمال ستتر شده‌اند. pH محیط واکنشی با استفاده از NaOH یک مولار در حدود ۱۱-۱۲ تنظیم می‌شود. ساختار و اندازه ذرات ستتر شده توسط روش پراش اشعه X (XRD) ، اسپکتروسکوپی ارتعاشی (FT-IR) و میکروسکوپ‌های الکترونی (SEM) تعیین و بررسی شده است، ذرات دارای ساختار پیروکلر با بعد ۱۵-۲۰ نانومتر می‌باشند. TEM (تعیین و بررسی شده است)، ابعاد سلولی انها با استفاده از نرم افزار CELREF Version 3 تعیین گردیده است. خصوصیات نوری اکسید‌های ستتر شده با بهره‌گیری از اسپکتروسکوپی جذبی (UV-Vis) بررسی شده است.</p>

## فهرست مطالب

صفحه	عنوان
	<b>فصل اول: بررسی منابع</b>
۱	۱-۱- مقدمه
	۱-۲- ساختار پیروکلرها
۳	۱-۲-۱- کریستالو گرافی پیروکلرها
۴	۱-۲-۲-۱- بررسی ساختار پیروکلر
۴	۱-۳-۱- پیروکلرهای A <sub>2</sub> <sup>3+</sup> B <sub>2</sub> <sup>4+</sup> O <sub>7</sub>
۵	۱-۳-۲- پیروکلرهای عناصر واسطه d
۵	۱-۳-۳-۱- پیروکلرهای (3+,4+) عناصر واسطه d
۶	۱-۳-۳-۲- پیروکلرهای (3+,4+) عناصر غیرواسطه گروه IVA
۶	۱-۳-۳-۳-۱- پیروکلرهای استانات
۷	۱-۴- پیروکلرهای A <sub>2</sub> <sup>2+</sup> B <sub>2</sub> <sup>5+</sup> O <sub>7</sub> (2+,5+)
۸	۱-۵- پیروکلرهای نقص دار
۹	۱-۶- آرایش الکترونی و خصوصیات مغناطیسی و الکتریکی ساختارهای پیروکلر
۱۲	۱-۷- جذب و نشر در پیروکلرها
۱۳	۱-۸- اسپکتروسکوپی ارتعاشی پیروکلرها
۱۷	۱-۹- کابرد اکسیدهای پیروکلر
۱۷	۱-۹-۱- مواد الکترونیکی و سرامیکها

۱۸.....	- سرامیک های پیروکلری.....۲-۱-۹-۱
۱۸.....	- پیروکلر در کاتالیست ها .....۲-۹-۱
۱۹.....	- سایر کاربردها.....۳-۹-۱
۲۰.....	- روش های نوین تهیه پودر ها .....۱۰-۱
۲۱.....	- روش تهیه نانو پودر های پیروکلراستانات .....۱۱-۱
۲۳.....	- پیروکلراستانات مختلط .....۱۲-۱
۲۴.....	- هدف .....۱۳-۱
<b>فصل دوم: مواد و روش ها</b>	
۲۵.....	-۱-۲ - مواد مورد استفاده .....
۲۶.....	- ۲-۲ - دستگاه های مورد استفاده .....
۲۷.....	- ۳-۲ - روش تهیه.....
۲۷.....	- ۳-۲ - روش تهیه $\text{Bi}_2\text{Sn}_2\text{O}_7$
۲۸.....	- ۲-۳-۲ - روش تهیه $(\alpha = 0.5, 0.8, 1, 1.5, 2) \text{Bi}_{2-\alpha}\text{Nd}_\alpha\text{Sn}_2\text{O}_7$
۳۰.....	- ۳-۳-۲ - روش تهیه $(\alpha = 1, 2) \text{Bi}_{2-\alpha}\text{Sm}_\alpha\text{Sn}_2\text{O}_7$
۳۱.....	- ۴-۳-۲ - روش تهیه $(\alpha = 0.5, 1) \text{Bi}_{2-\alpha}\text{La}_\alpha\text{Sn}_2\text{O}_7$
۳۲.....	- ۴-۴ - آنالیز عنصری با پلاسمای اتقالی.....

## فصل سوم: بحث و نتایج

۳۳.....	۱-۱-۳- مقدمه: پیروکلر استانات بیسموت $\text{Bi}_2\text{Sn}_2\text{O}_7$ و گونه دو په شده آن.
۳۳.....	۱-۲-۳- بررسی پارامترهای موثر در سنتز نمونه A ( $\text{Bi}_2\text{Sn}_2\text{O}_7$ )
۳۴.....	۱-۲-۳- بررسی غلظت های مختلف واکنشگرهای سنتز ترکیب $\text{Bi}_2\text{Sn}_2\text{O}_7$
۳۷.....	۲-۲-۳- بررسی pH های مختلف برای سنتز ترکیب $\text{Bi}_2\text{Sn}_2\text{O}_7$
۴۱.....	۳-۲-۳- بررسی مدت زمان و دماهای مختلف برای سنتز ترکیب $\text{Bi}_2\text{Sn}_2\text{O}_7$
۴۶.....	۳-۳- محاسبه ابعاد سلولی با استفاده از نرم افزار cellref
۴۷.....	۴-۴- طیف FT-IR مربوط به ترکیب سنتز شده A ( $\text{Bi}_2\text{Sn}_2\text{O}_7$ )
۴۸.....	۵-۵- سنتز و بررسی $\text{Bi}_{2-\alpha}\text{Nd}_\alpha\text{Sn}_2\text{O}_7$
۴۹.....	۱-۵-۳- نمونه B ( $\text{Bi}_{1.5}\text{Nd}_{0.5}\text{Sn}_2\text{O}_7$ )
۵۰.....	۲-۵-۳- نمونه C ( $\text{Bi}_{1.2}\text{Nd}_{0.8}\text{Sn}_2\text{O}_7$ )
۵۱.....	۳-۵-۳- نمونه D ( $\text{BiNdSn}_2\text{O}_7$ )
۵۲.....	۴-۵-۳- نمونه E ( $\text{Bi}_{0.5}\text{Nd}_{1.5}\text{Sn}_2\text{O}_7$ )
۵۳.....	۵-۵-۳- نمونه F ( $\text{Nd}_2\text{Sn}_2\text{O}_7$ )
۵۶.....	۶-۶- طیف های FT-IR مربوط به سری ترکیبات سنتز شده $\text{Bi}_{2-\alpha}\text{Nd}_\alpha\text{Sn}_2\text{O}_7$
۶۲.....	۷-۷- سنتز و بررسی $\text{Bi}_{2-\alpha}\text{Sm}_\alpha\text{Sn}_2\text{O}_7$
۶۳.....	۱-۷-۳- نمونه G ( $\text{Bi SmSn}_2\text{O}_7$ )
۶۴.....	۲-۷-۳- نمونه H ( $\text{Sm}_2\text{Sn}_2\text{O}_7$ )

۶۷.....	$\text{Bi}_{2-a}\text{La}_a\text{Sn}_2\text{O}_7$	- سنتز و بررسی ۳-۸-۸
۶۸.....	$(\text{Bi}_{1.5}\text{La}_{0.5}\text{Sn}_2\text{O}_7)$ I	- نمونه ۳-۸-۱-۱
۶۹.....	$(\text{BiLaSn}_2\text{O}_7)$ J	- نمونه ۳-۸-۲
۷۲.....	بررسی مورفولوژی پودر های سنتز شده	۳-۹-۴
۷۵.....	بررسی اندازه ذرات	۳-۱۰-۱
۷۸.....	طیف جذبی ، نشری و باند گپ در پیرو کلر ها :	۳-۱۱-۱۱
۸۱.....	$(\text{Ln}=\text{Nd}, \text{Sm}, \text{La})\text{Bi}_{2-a}\text{Ln}_a\text{Sn}_2\text{O}_7$ .	۳-۱۱-۱-۱
۹۱.....	نتیجه گیری	
۹۲.....	پیشنهادات	
۹۳.....	ضمیمه	
۱۰۳.....	منابع	

## فهرست اشکال

- ۷ ..... شکل (۱-۱) هندسه منطقه ای Bi را در ساختار پیرو کلر.
- ۱۰ ..... شکل (۲-۱) دیاگرام اربیتال مولکولی ساختار پیرو کلر  $\text{Ln}_2\text{B}_2\text{O}_7$
- ..... شکل (۱-۳) طیف جذبی برای نمونه های
- ۱۲ ..... (a)  $\text{Na}_2\text{Ta}_2\text{O}_6$ ; (b)  $\text{K}_2\text{Ta}_2\text{O}_6$ ; (c)  $\text{Ca}_2\text{Ta}_2\text{O}_7$ ; (d)  $\text{Ca}_2\text{Nb}_2\text{O}_7$
- ۱۴ ..... شکل (۴-۱) سلول واحد ساختار پیرو کلر
- ۱۷ ..... شکل (۵-۱) ساختار پیرو کلر  $\text{Cd}_2\text{Re}_2\text{O}_7$  و الکترونهای 5d2
- ۲۲ ..... شکل (۶-۱) گونه های مختلف متاثر از تغیر pH
- ..... شکل (۱-۳) طیف XRD تحت شرایط :  $\text{pH} = 8-9$  ،  $190^\circ\text{C}$  ، 12 ساعت و  $0.03\text{ M}$  برای حصول نمونه قابل انتظار  $\text{Bi}_2\text{Sn}_2\text{O}_7$
- ..... شکل (۲-۳) طیف XRD تحت شرایط :  $\text{pH} = 8-9$  ،  $190^\circ\text{C}$  ، 12 ساعت و  $0.02\text{ M}$  برای حصول نمونه قابل انتظار  $\text{Bi}_2\text{Sn}_2\text{O}_7$
- ..... شکل (۳-۳) طیف XRD تحت شرایط :  $\text{pH} = 8-9$  ،  $190^\circ\text{C}$  ، 12 ساعت و  $0.01\text{ M}$  برای حصول نمونه قابل انتظار  $\text{Bi}_2\text{Sn}_2\text{O}_7$
- ..... شکل (۴-۳) طیف XRD تحت شرایط :  $\text{pH} = 9-10$  ،  $190^\circ\text{C}$  ، 12 ساعت و  $0.01\text{ M}$  برای حصول نمونه قابل انتظار  $\text{Bi}_2\text{Sn}_2\text{O}_7$
- ..... شکل (۵-۳) طیف XRD تحت شرایط :  $\text{pH} = 10-11$  ،  $190^\circ\text{C}$  ، 12 ساعت و  $0.01\text{ M}$  برای حصول نمونه قابل انتظار  $\text{Bi}_2\text{Sn}_2\text{O}_7$
- ..... شکل (۶-۳) طیف XRD تحت شرایط :  $\text{pH} = 11-12$  ،  $190^\circ\text{C}$  ، 0.01 و 12 ساعت برای حصول نمونه قابل انتظار  $\text{Bi}_2\text{Sn}_2\text{O}_7$

- برای حصول نمونه قابل انتظار  $\text{Bi}_2\text{Sn}_2\text{O}_7$  ۴۰
- شکل (۷-۳) طیف XRD تحت شرایط :  $0.01\text{ M}$  ،  $\text{pH}=12$  ،  $190^\circ\text{C}$  و ۱۸ ساعت
- برای حصول نمونه قابل انتظار  $\text{Bi}_2\text{Sn}_2\text{O}_7$  ۴۲
- شکل (۸-۳) طیف XRD تحت شرایط :  $0.01\text{M}$  ،  $\text{pH}=11-12$  ،  $160^\circ\text{C}$  و ۸ ساعت
- برای حصول نمونه قابل انتظار  $\text{Bi}_2\text{Sn}_2\text{O}_7$  ۴۳
- شکل (۹-۳) طیف XRD تحت شرایط :  $0.01\text{ M}$  ،  $\text{pH}=11-12$  ،  $180^\circ\text{C}$  و ۱۲ ساعت
- برای حصول نمونه قابل انتظار  $\text{Bi}_2\text{Sn}_2\text{O}_7$  ۴۴
- شکل (۱۰-۳) طیف XRD تحت شرایط :  $0.01\text{ M}$  ،  $\text{pH}=11-12$  ،  $190^\circ\text{C}$  و ۱۲ ساعت
- ( کلسینه شده  $3\text{ h}$  ،  $1000^\circ\text{C}$  ) برای حصول نمونه قابل انتظار  $\text{Bi}_2\text{Sn}_2\text{O}_7$  ۴۵
- شکل (۱۱-۳) طیف FT-IR مربوط به نمونه A
- شکل (۱۲-۳) طیف XRD مربوط به نمونه B
- شکل (۱۳-۳) طیف XRD مربوط به نمونه C
- شکل (۱۴-۳) طیف XRD مربوط به نمونه D
- شکل (۱۵-۳) طیف XRD مربوط به نمونه E
- شکل (۱۶-۳) طیف XRD مربوط به نمونه F
- شکل (۱۷-۳) طیف FT-IR مربوط به نمونه B
- شکل (۱۸-۳) طیف FT-IR مربوط به نمونه C
- شکل (۱۹-۳) طیف FT-IR مربوط به نمونه D
- شکل (۲۰-۳) طیف FT-IR مربوط به نمونه E

..... شکل (۲۱-۳) طیف FT-IR مربوط به نمونه F	۵۸
..... شکل (۲۲-۳) تغیرات فرکانس ارتعاشی (A-O) $\nu$ نسبت به a	۶۱
..... شکل (۲۳-۳) طیف XRD مربوط به نمونه G	۶۳
..... شکل (۲۴-۳) طیف XRD مربوط به نمونه H	۶۴
..... شکل (۲۵-۳) طیف FT-IR نمونه G	۶۶
..... شکل (۲۶-۳) طیف FT-IR نمونه H	۶۶
..... شکل (۲۷-۳) طیف XRD نمونه I	۶۸
..... شکل (۲۸-۳) طیف XRD نمونه J	۶۹
..... شکل (۲۹-۳) طیف FT-IR مربوط به نمونه L	۷۰
..... شکل (۳۰-۳) طیف XRD و تصویر SEM نمونه Bi <sub>2</sub> Sn <sub>2</sub> O <sub>7</sub>	۷۲
..... شکل (۳۱-۳) طیف XRD و تصویر SEM نمونه Bi <sub>2</sub> Sn <sub>2</sub> O <sub>7</sub>	۷۳
..... شکل (۳۲-۳) طیف XRD و تصویر SEM نمونه Nd <sub>2</sub> Sn <sub>2</sub> O <sub>7</sub>	۷۴
..... شکل (۳۳-۳) تصاویر TEM نمونه سنتز شده Bi <sub>0.5</sub> Nd <sub>1.5</sub> Sn <sub>2</sub> O <sub>7</sub> در شرایط بهینه هیدروترمال	۷۶
..... شکل (۳۴-۳) تصویر SADE نمونه سنتز شده Bi <sub>0.5</sub> Nd <sub>1.5</sub> Sn <sub>2</sub> O <sub>7</sub> در شرایط بهینه هیدروترمال	۷۷
..... شکل (۳۵-۳) الگوی EDX حاصل از تصاویر TEM نمونه سنتز شده Bi <sub>0.5</sub> Nd <sub>1.5</sub> Sn <sub>2</sub> O <sub>7</sub> در شرایط بهینه هیدروترمال	۷۷

۷۸.....	شکل (۳۶-۳) اربیتال مولکولی $\text{SnO}_6$
۷۹.....	شکل (۳۷-۳) طیف جذبی برخی از ترکیبات پیرو کلر
۸۱.....	شکل (۳۸-۳) طیف جذبی نمونه A ( $\text{Bi}_2\text{Sn}_2\text{O}_7$ )
۸۲.....	شکل (۳۹-۳) طیف جذبی نمونه B
۸۲.....	شکل (۴۰-۳) طیف جذبی نمونه C
۸۳.....	شکل (۴۱-۳) طیف جذبی نمونه D
۸۳.....	شکل (۴۲-۳) طیف جذبی نمونه E
۸۴.....	شکل (۴۳-۳) طیف جذبی نمونه F
۸۵.....	شکل (۴۴-۳) نحوه بدست اوردن لبه جذب
۸۶.....	شکل (۴۵-۳) طیف جذبی نمونه G
۸۷.....	شکل (۴۶-۳) طیف جذبی نمونه H
۸۸.....	شکل (۴۷-۳) طیف جذبی نمونه I
۸۸.....	شکل (۴۸-۳) طیف جذبی نمونه J

## فهرست جداول

جدول (۱ - ۱) مختصات تقارنی برای مراکز ناحیه‌ای IR و رامان.....	۱۵
جدول (۲-۱) نیروهای بین پیوندی پیروکلر $Ln_2Sn_2O_7$ .....	۱۶
جدول (۱-۲) مواد مورد استفاده.....	۲۵
جدول (۲-۲) مقدار مواد و ترکیبات استفاده شده جهت سنتز $Bi_{2-q}Nd_qSn_2O_7$ .....	۲۹
جدول (۲-۳) مقدار مواد و ترکیبات استفاده شده جهت سنتز $Bi_{2-q}Sm_qSn_2O_7$ .....	۳۰
جدول (۴-۲) مقدار مواد و ترکیبات استفاده شده جهت سنتز $Bi_{2-q}La_qSn_2O_7$ .....	۳۱
جدول (۳-۱) مقادیر Nd دوپه شده بجای Bi.....	۴۸
جدول (۲-۳) مقادیر $\theta$ مشاهده شده در نمونه B و مقایسه آن ها با نمونه دوپه نشده.....	۴۹
جدول (۳-۳) مقادیر $\theta$ مشاهده شده در نمونه C و مقایسه آن ها با نمونه دوپه نشده.....	۵۰
جدول (۴-۳) مقادیر $\theta$ مشاهده شده در نمونه D و مقایسه آن ها با نمونه دوپه نشده.....	۵۱
جدول (۵-۳) مقادیر $\theta$ مشاهده شده در نمونه E و مقایسه آن ها با نمونه دوپه نشده.....	۵۲
جدول (۶-۳) مقادیر $\theta$ مشاهده شده در نمونه F و مقایسه آن ها با نمونه دوپه نشده.....	۵۳
جدول (۷-۳) میزان جابجایی $\theta$ نمونه های سنتز شده سری ترکیبات A-F.....	۵۴
جدول (۸-۳) ابعاد سلول واحد نمونه های سنتز شده سری ترکیبات A-F.....	۵۴
جدول (۹-۳) فرمول های تجربی ترکیبات B, C, D, E.....	۵۵
جدول (۱۰-۳) باند ارتعاشی A-O نسبت به a های مختلف.....	
ترکیبات سنتز شده $Bi_{2-q}Nd_qSn_2O_7$ .....	۶۱
جدول (۱۱-۳) مقادیر Sm دوپه شده بجای Bi.....	۶۲

---

جدول (۱۲-۳) مقادیر $2\theta$ مشاهده شده در نمونه G و مقایسه آن ها با نمونه دوپه نشده... ۶۳
جدول (۱۳-۳) مقادیر $2\theta$ مشاهده شده در نمونه H و مقایسه آن ها با نمونه دوپه نشده.... ۶۴
جدول (۱۴-۳) میزان جابجایی $2\theta$ نمونه های سنتز شده سری ترکیبات A,G,H ۶۵
جدول (۱۵-۳) ابعاد سلول واحد نمونه های سنتز شده سری ترکیبات A,G,H ۶۵
جدول (۱۶-۳) مقادیر La دوپه شده بجای Bi ۶۷
جدول (۱۷-۳) مقادیر $2\theta$ مشاهده شده در نمونه I و مقایسه آن ها با نمونه دوپه نشده... ۶۸
جدول (۱۸-۳) مقادیر $2\theta$ مشاهده شده در نمونه J و مقایسه آن ها با نمونه دوپه نشده.... ۶۹
جدول (۱۹-۳) ابعاد سلول واحد نمونه های سنتز شده سری ترکیبات ... ۷۰
جدول (۲۰-۳) انرژی های باند گپ برای نمونه های شده A-F ۸۶
جدول (۲۱-۳) انرژی های باند گپ برای نمونه های شده G, H ۸۷
جدول (۲۲-۳) انرژی های باند گپ برای نمونه های شده J , I ۸۹

## ۱-۱- مقدمه :

اکسیدهای فلزی گروه بسیار بزرگی از ترکیبات شیمیایی را به خود اختصاص داده‌اند که در این میان اکسید فلزات سه تایی با فرمول عمومی  $A_2B_2O_7$  (A و B فلز) دسته‌ای از فازهای هم ساختار با پیرو کلر معدنی (کانی معدنی)  $(NaCa)(NbTa)O_6F/OH$ <sup>۱</sup> را نمایش می‌دهند. این کانی معدنی که پیرو کلر<sup>۲</sup> نامیده می‌شود در سال ۱۹۵۰ به طور همزمان در برزیل و کانادا کشف شد و بعد از این کشف، کانی پیرو کلر به عنوان منبع جدیدی برای استخراج عنصر ۴۱ جدول تناوبی یعنی نئوپیوم، مورد استفاده قرار گرفت. نام این اکسید معدنی برگرفته از دو کلمه یونانی پیرو<sup>۳</sup> به معنی آتش و کلر<sup>۳</sup> به معنی سبز می‌باشد بر اساس این واقعیت که شعله این کانی به رنگ سبز نمایان می‌شود. این کانی اسیدی به رنگهای قهوه‌ای، زرد مایل به قهوه‌ای، رزشکی، نارنجی و سیاه یافت می‌شوند.<sup>[۱,۲]</sup>

دسته‌ای از ترکیبات شیمیایی که فرمول عمومی مشابه با این کانی دارند با نام ساختارهای پیروکلر طبقه بندی می‌شوند. این ترکیبات در حدود ۱۵۰ عدد می‌باشند که اکثراً به طور طبیعی یونی و مکعبی می‌باشند عموماً A, B فلزاتی می‌باشند که به ترتیب در حالت اکسایش III, IV و یا II, V می‌باشند همچنین احتمالات دیگری نیز برای حصول تعادل بار وجود دارد که نتیجه آن اکسیدهای مختلط غیراستوکیومتری و نیز پیروکلرهای نقص دار (نقص از نوع حفره) می‌باشد.

ساختارهای کریستالی نقص دار می‌تواند به صورتی باشد که یونهای O و A در اثر جابه جایی به نواحی مرکزی انتقال یابند که در این حالت مهاجرت کاتیون به داخل جامد آسان تر می‌باشد پس زمانی که نسبت شعاع‌های یونی و خنثائیت بار تامین گردد گونه‌های مختلفی می‌توانند در موقعیت

<sup>۱</sup> Pyrochlore<sup>۲</sup> pyro<sup>۳</sup> chlore

کاتیونی A و همچنین موقعیت آئیون O قرار گیرد، از دیدگاه، پایداری شیمیایی فازهای پیروکلر مربوط به نسبت شعاع‌های A به B می‌باشد. در حالت کلی فاز پیروکلر تا نسبت  $r_A : r_B = 1.8$  پایدار می‌باشد.<sup>[۳-۸]</sup>

عنصر B می‌تواند یکی از فلزات واسطه با حالات اکسایش مختلف و یا یکی از فلزات واسطه داخلی باشد در حالی که عنصر A می‌تواند یک عنصر خاکی کمیاب (لانتانیدی) و یا یک عنصر با جفت عایقهای بسیار قوی و نیمه هادی‌ها تا رفتار فلزی متغیر باشد و در تعداد اندکی از ترکیبات هم خصوصیات انتقالی نیمه هادی به فلز مشاهده می‌شود.<sup>[۳]</sup>

بسیاری از فازها هنگامی که عناصر A، B در بالاترین حالت اکسایش خود هستند رفتارهای جالب دی الکتریکی، پیزو و فروالکتریکی را از خود نشان می‌دهند. زمانی که عنصر واسطه  $d_3$  به جای یون B و یک خاکی کمیاب در جایگاه یون A قرار گیرد، رفتاری از یک پارا مغناطیس ساده تا یک فرومغناطیس یا آنتی فرومغناطیسی را در دمای ۷۷ کلوین و یا پایین‌تر از آن می‌توان انتظار داشت.<sup>[۳,۹]</sup> بسیاری از پیروکلرها زمانی که شامل عناصر لانتانیدی می‌باشند رفتار فلورسانسی و فسفرسانسی از خود نشان می‌دهند و در برخی مواقع می‌توانند در لیزرها به کار گرفته شوند.<sup>[۶,۱۰]</sup>

## ۱-۲- ساختار پیروکلرها

### ۱-۲-۱- کریستالو گرافی پیروکلرها

فرمول عمومی برای اکسیدهای پیروکلر می‌تواند به صورت  $A_2B_2O_6O'$  با چهار نوع اتم مختلف از نظر کریستالو گرافی نوشته شود. گروه فضایی برای ساختار پیروکلر ایده‌آل  $Fd\bar{3}m$  می‌باشد و در هر سلول واحد هشت مولکول وجود دارد ( $Z = 8$ )، ساختار شامل دو نوع کاتیون می‌باشد که به صورت چند گوشه کوردینه شده‌اند. کاتیون A (معمولًاً با شعاع حدود  $1A^\circ$ ) هشت کوردینه می‌باشد و در داخل مکعب انحراف یافته قرار گرفته است. کاتیون کوچکتر B (با شعاع یونی حدود  $0.6A^\circ$ ) شش کوردینه می‌باشد. و در داخل ضد منشور مثلثی قرار گرفته است و شش آنیون با فاصله مساوی از یون مرکزی جای گرفته‌اند.

ساختار کاملاً متقارن پیروکلر فقط یک پارامتر کوردیناسیونی متغیر (پارامتر X اکسیژن O) دارد، مقدار مجهول پارامتر X اکسیژن می‌تواند با روش X-ray و یا آنالیز ساختاری نوترونی تعیین گردد. در بسیاری از موارد داده‌های اشعه X پودری از طریق شدتهای مشاهده شده بدست می‌آید در حالی که در بقیه موارد مقدار پارامتر X از طریق ثابت شبکه و فاصله پیوندهایی که در شکل ساختار کریستال موجود است یافته می‌شود اگر چه بسیاری از ترکیبات پیروکلر در ساختار مکعبی کریستالیزه می‌شوند ولی در موارد اندکی انحراف از تقارن مکعبی به حالت تراگونالی، رو مبوهدral و تری کلینیک باقیستی مورد توجه قرار گیرد. کوتاه ترین فاصله در پیوندهای B-O، A-O در پیروکلرها به ترتیب نزدیک به میانگین طول پیوند در اکسیدهای دو تایی و سه تایی با میدان هشت و شش کوردینه می‌باشد [۱۱-۱۳].

### ۱-۲-۲- بررسی ساختار پیروکلر

ساختار پیروکلرها تحت چندین روش مختلف بررسی می‌گردد، روش‌های مختلف وابسته به تغییر شکل کوردیناسیون پلی هدرون در پیرامون کاتیونهای  $A$ ،  $B$  با پارامتر  $X$  اکسیژن می‌باشد. در برخی موارد پیروکلرها به عنوان یک ساختار شبکه‌ای از اکتا هدرالهای  $BO_6$  که از گوشه‌ها به هم وصل شده‌اند بررسی می‌شوند. در این حالت اتم  $A$  به صورت ۸ کوردینه در داخل یک هگزاگونال قرار گرفته است (متصل به ۶ یون اکسیژن حاصل از اکتا هدرالهای  $BO_6$  و ۲ اتم اکسیژن  $O^+$ ).



در برخی دیگر بر پایه یک آنیون که گویای سلول واحد فلوریت می‌باشد، مطرح شده است کاتیون  $A, B$  در شبکه F.C.C قرار گرفته اند و آنیون‌ها سه نوع حفره چهاروجهی را پر کرده‌اند، مانند ساختار فلوریت که اتم‌های  $CaF_2$  که اتم‌های Ca شبکه F.C.C را به وجود آورده‌اند و اتم‌های F حفره‌های چهار وجهی را اشغال نموده‌اند. و در اکثر موقعیت‌ها شامل نفوذ شبکه‌هایی از اکتا هدرال با انحراف رومبوهدرالی  $BO_6$  است که پارامتر X اکسیژن شکل اکتا هدرال را تعیین می‌کند، و زمانی که  $X=0.3125$  باشد ساختار بدون انحراف می‌باشد و زنجیره‌های  $A_2O_2'$  و  $B_4A_4$  با قرارگیری اکسیژن در داخل و یا خارج آن می‌باشد [۱۵-۱۳]. به هر حال هیچ کدام از این توضیحات به تنها‌یابی قادر به شفاف سازی ساختار این ترکیبات نمی‌باشد.

### ۱-۳- پیروکلرهای $A_2^{3+}B_2^{4+}O_7$

بسیاری از اکسیدهای پیروکلر شناخته شده از نوع  $A_2^{3+}B_2^{4+}O_7$  می‌باشد این گستردگی به خاطر فراوانی کاتیونهای  $A^{3+}$ ,  $B^{4+}$  می‌باشد که شعاع یونی آن‌ها مساعد برای تشکیل ساختار

پیروکلرپایدار می‌باشد. یون  $A^{3+}$  می‌تواند یک فلز خاکی کمیاب یا یکی از عناصر  $Tl, Bi, Y, Sc$ , و  $B^{3+}$  می‌تواند یک فلز واسطه و یا یکی از عناصر گروه IV A باشد.

### ۳-۱-۳-۱- پیروکلرهای عناصر واسطه d<sup>3</sup>

از بین عناصر واسطه d<sup>3</sup> فقط چهار عنصر  $Mn, Cr, V, Ti$  :  $B$  فازهای پیروکلر (3+,4+) تشکیل می‌دهند. تیتانات و وانادات در فشارهای متعارفی تشکیل می‌شوند ولی برای تشکیل پیروکلر  $Mn, Cr$  فشارهای بالایی مورد نیاز است.

### ۴-۲-۳-۱- پیروکلرهای (3+,4+) عناصر واسطه d<sup>4</sup>

در بین عناصر واسطه d<sup>4</sup> عناصر  $Pd, Ru, Tc, Mo, Zr$  فاز پیروکلر را تشکیل می‌دهد که تشکیل آنها مستلزم فشارهای بالایی می‌باشد.

این ترکیبات در دمای عادی پایدار می‌باشند و پایداری خوبی در دمای بالاتر از  $1500^{\circ}C$  ندارند و یک انتقال از حالت منظم به حالت بدون نظم در ساختار فلوریت نقص دار پیروکلرها مشاهده می‌شود و دمای انتقالی  $T_t$  بسته به یون A می‌باشد و زمانی که La در این جایگاه قرار می‌گیرد انتقال فازی صورت نمی‌گیرد و در مورد Nd دما  $2300^{\circ}C$  Sm  $2300^{\circ}C$  و برای Cd  $2000^{\circ}C$  می‌باشد.

پیروکلرهای مولیبدات  $Ln_2Mo_2O_7$  به آسانی به صورت پلی کریستالهایی از واکنش  $Ln_2O_3$  با  $MoO_2$  بدست می‌آید. این ترکیب در  $4.2K$  پارامغناطیس می‌باشد.

ترکیبات (  $A = \text{Pr} \rightarrow Lu, \text{or } Y, Bi, T$  )  $A_2Rn_2O_7$  موجود می‌باشند و مطالعاتی بر روی آنها انجام گرفته است. رنگ این ترکیبات سیاه یا سیاه - آبی می‌باشند و به آسانی می‌توانند با فرآیند حالت جامد در فشار متعارفی تهیه گردند تک کریستالهای این ترکیبات می‌توانند تحت روش هیدروترمال سنتز شوند.

### ۳-۳-۱ پیروکلرهای (3+,4+) عناصر غیرواسطه گروه IV A

در بین عناصر غیرواسطه گروه IV A فلزات Pb, Sn, Ce, Si برای تشکیل فازهای پیروکلر مناسب می‌باشند استاناتهای خاکی‌های کمیاب  $Ln_2Sn_2O_7$  در سری مخلوطی که می‌توانند باشد و در فشار ۱ atm قابل سنتز می‌باشند. بقیه پیروکلرهای این گروه می‌باشند.

این شرایط سخت به خاطر نفوذ اجباری Ge, Si به میدان کوردیناسیون هشت وجهی در فشار بالا (زیرا برای ایجاد کوردیناسیون هشت وجهی با Ge, Si به فشار زیادی احتیاج است) می‌باشد و در مورد  $La_2Pb_2O_7$  باستثنی شرایط لازم برای پایداری حالت اکسایش سرب (4+) تأمین گردد [۱۶].

### ۱-۳-۳-۱ پیروکلرهای استانات :

پیروکلرهای استانات (  $Ln = La \rightarrow Lu, y$  )  $Ln_2Sn_2O_7$  به صورت گسترده مورد مطالعه قرار گرفته است. پیروکلر استانات بیسموت  $Bi_2Sn_2O_7$  را می‌توان در دمای اتاق جزء ساختارهای انحراف یافته پیروکلرها دانست. پیروکلر ایده‌آل  $Bi_2Sn_2O_7$  در دمای بالای ۶۸۰°C موجود می‌باشند (فرم ۷) که سلول تراگونالی را نمایان می‌سازد [۳, ۱۷, ۱۸].

فاز میانی  $\beta - Bi_2Sn_2O_7$  به صورت سلول شبکه با وجوده پر معرفی می‌گردد. یافته‌های

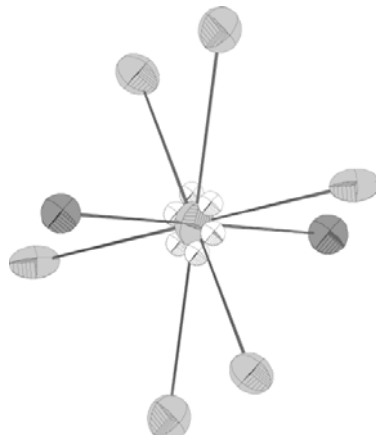
کریستالوگرافی در دمای اتاق حضور دو فاز  $\alpha, \beta$  را اثبات می‌کند.

از نظر ستیکی انتقال فاز  $\beta \rightarrow \alpha$  مرتبه اول و انتقال فاز  $\gamma \rightarrow \beta$  مرتبه دوم می‌باشد ناخالصی‌ها و

جایگزینهای جایگاه  $Bi$  همیشه باعث می‌شود که فرم  $\beta$  در دمای اتاق پایدار شود در  $Bi_2Sn_2O_7$  در

دهماهی بالاتر از  $1200^{\circ}C$  تخریب می‌شود[۷].

شکل (۱-۱) هندسه منطقه ای  $Bi$  را در ساختار پیرو کلر نشان می‌دهد[۱۵].



شکل (۱-۱). هندسه منطقه ای  $Bi$  را در ساختار پیرو کلر

#### ۴-۱- پیروکلرهای $(2+, 5+) A_2^{2+} B_2^{5+} O_7$

این نوع پیروکلرهای نسبت به پیروکلرهای  $(3+, 4+)$  گسترده‌گی کمتری دارند که این عدم فراوانی می-

تواند به علت کم بودن کاتیون‌های  $A^{2+}, B^{5+}$  مناسب باشد[۱۶].

## ۱-۵- پیرو کلرهای نقص دار

اگرچه دسته‌ی بزرگی از ترکیبات با فرمول عمومی  $ABO_3$  در ساختار پروسکیت کریستالیزه می-

شوند ولی یافته‌های تجربی نشان می‌دهد که برخی از این ترکیبات متعلق به ساختارهای پیروکلر

نقص دار می‌باشند. تعداد نسبتاً کمی از ترکیبات  $A_2B_2O_6$  متعلق به دسته‌ای از پیروکلرها می‌باشد که

فرمول عمومی آنها شبیه پروسکیت است و این ترکیبات زمانی به وجود می‌آیند که A و B

یونهایی نرم و کمتر الکترونگاتیو باشند و در این حالت پیوندهای  $B-O$ ,  $A-O$  کاملاً کوالان هستند.

یک ساختار پیروکلر نرمال به صورت  $A_2B_2O_7$  می‌باشد در حالی که در ساختار پیروکلرهای نقص دار

حفره‌های آنیونی و کاتیونی در شبکه موجود می‌باشند و ساختار  $A_2B_2O'_6O'$  می‌تواند یک حفره در

جایگاه  $O'$  و یا A را متحمل شود تا فازهای  $(ABO_3)A_2B_2O_6$  و  $(AB_2O_6)$  را به وجود آورد

[۲۱-۱۶].

در ساختار پیروکلرهای ایده‌آلی اتم A می‌تواند از جایگاه خود خارج شده در سایتها دیگر قرار

گیرد که این باعث می‌شود تقارن بالای  $Fd3m$  ساختار پیروکلریک تغییر اصلاح شده‌ای را پذیرا شود

برای مثال در  $Bi_2Ti_2O_7$  اتم‌های Bi می‌توانند جایگاه خود را ترک کرده و در سایت دیگری قرار

گیرند [۷].

در برخی از سیستم‌های پیروکلر، کاتیونهای سایت A مازاد بوده و در تعدادی از جایگاههای کاتیون

B قرار می‌گیرند. از آنجایی که ثابت شبکه این ترکیبات بر اثر این نقص افزایش می‌باید عبارت

منبسط شدن برای این مواد به کاربرده می‌شود. در برخی از کارهای پژوهشی عناصری مانند F و N

در جایگاه آنیون‌های اکسیدی قرار می‌گیرد.